# Elettromagnetismo

Prof. Francesco Ragusa Università degli Studi di Milano

Lezione n. 20 - 27.02.2023

Rotore e teorema di Stokes Teorema di Helmoltz Campo elettrostatico e teorema di Helmoltz Forze magnetiche - Esperimento di Oersted.

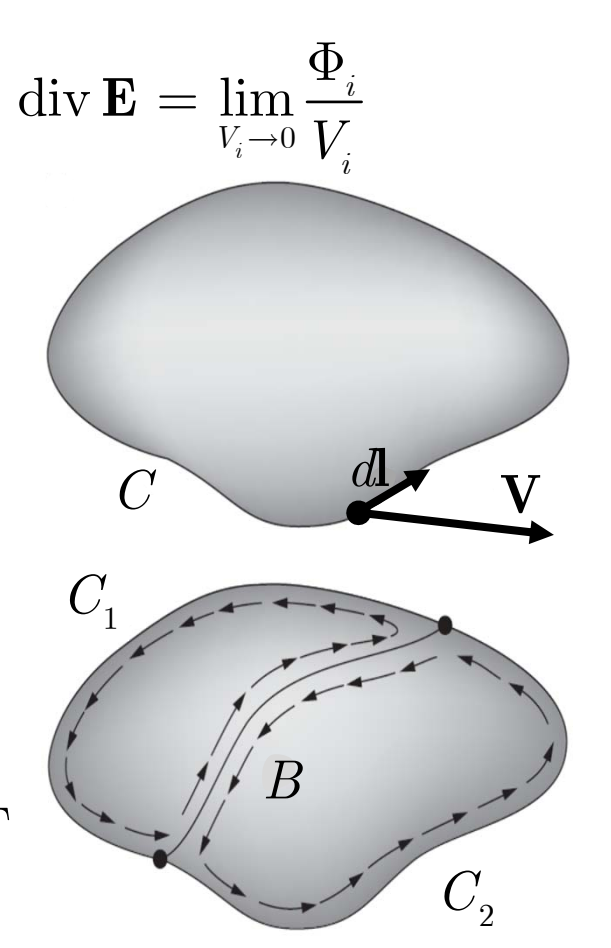
Anno Accademico 2022/2023

- Ricordiamo la procedura seguita nel caso della legge di Gauss
  - Avevamo espresso il flusso attraverso una superficie come la somma di tanti flussi attraverso superfici sempre più piccole
    - Al limite infinite superfici infinitesime
  - Avevamo poi definito la divergenza come limite del rapporto fra il flusso e il volume racchiuso
- ullet Analogamente consideriamo la circuitazione di un campo vettoriale V lungo una curva chiusa C

$$\Gamma = \oint_C \mathbf{V} \cdot d\mathbf{l}$$

- $\bullet$  Otteniamo lo stesso risultato se sommiamo due circuitazioni lungo i cammini  $C_1$  e  $C_2$ 
  - Notiamo che gli integrali lungo la regione di confine fra  $C_1$  e  $C_2$  (linea B) si elidono
  - Sono percorsi in senso inverso
  - Rimangono i contributi del resto dei cammini

$$\Gamma_1 + \Gamma_2 = \oint_{C_1} \mathbf{V} \cdot d\mathbf{l} + \oint_{C_2} \mathbf{V} \cdot d\mathbf{l} = \oint_C \mathbf{V} \cdot d\mathbf{l} = \Gamma$$



• Il processo appena descritto può essere ripetuto

$$\Gamma_i = \oint_{C_i} \mathbf{V} \cdot d\mathbf{l}$$

 Sommando su tutti i cammini rimane solo il contributo del cammino originale (esterno)

$$\Gamma = \sum_{i} \Gamma_{i}$$
  $\Gamma = \oint_{C} \mathbf{V} \cdot d\mathbf{l}$ 

- Al crescere del numero delle suddivisioni il valore delle circuitazioni  $\Gamma_i$  diventa sempre più piccolo:  $\Gamma_i \to 0$
- Nel caso della legge di Gauss avevamo definito una proprietà differenziale del campo legata alla legge del flusso calcolando il limite del rapporto fra il flusso  $\Phi_i$  e il volume  $V_i$  con  $\Phi_i$ ,  $V_i \to 0$ 
  - Il limite del rapporto esisteva e definiva la divergenza del campo

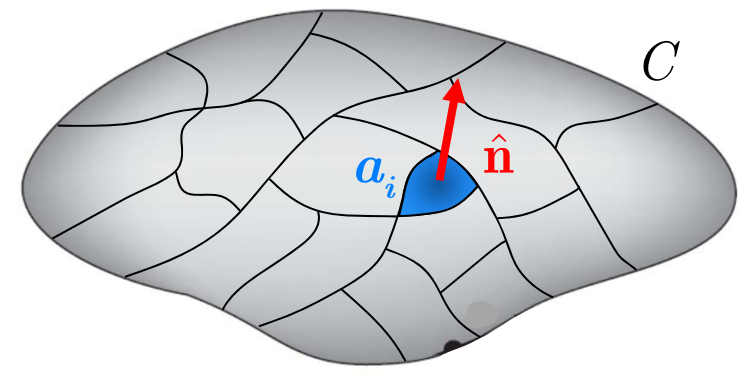
$$\operatorname{div} \mathbf{E} = \lim_{V_i o 0} rac{\Phi_i}{V_i}$$

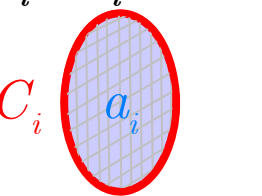
• Analogamente possiamo trovare una proprietà differenziale del campo legata alla legge della circuitazione calcolando il limite del rapporto fra le circuitazioni  $\Gamma_i$  e le superfici  $a_i$ 

$$\lim_{a_i \to 0} \frac{\Gamma_i}{a_i}$$

• Tuttavia ci sono importanti differenze

- Esaminiamo le differenze
  - ullet La superficie  $a_i$  è connessa al cammino  $C_i$  in modo ambiguo
    - Ad esempio le due superfici di seguito hanno lo stesso contorno  $C_i$  ma hanno differenti valori  $a_i$  e  $a_i'$







 $egin{pmatrix} oldsymbol{a_i'} & C_i & oldsymbol{c_i} & oldsymbol{c_i} & oldsymbol{a_i} & oldsy$ in modo univoco

- Il limite del rapporto  $\Gamma_i/a_i$  dipende dalla forma della superficie
- ullet Si può ovviare a questa ambiguità utilizzando la normale  $\hat{\mathbf{n}}$  alla superficie
  - ullet Se si fa tendere a zero la superficie mantenendo fissa la direzione  $\hat{\mathbf{n}}$ della normale si dimostra che il limite esiste ed è univoco
    - È un limite diverso per ogni direzione
    - In conclusione la grandezza che stiamo definendo è un vettore
    - Mantenere fissa la direzione della normale equivale a dire che si sta calcolando la componente del vettore nella direzione di  $\hat{\mathbf{n}}$
  - Il limite (vettoriale) definisce In inglese curl V il rotore del campo vettoriale  ${f V}$   $\hat{f n}\cdot{
    m rot}{f V}=\limrac{\Gamma_i}{-}$ To curl = arrotolare

• Notiamo che la grandezza che abbiamo definito è una funzione vettoriale del  $\Gamma_i = \oint_{C_i} \mathbf{V} \cdot d\mathbf{l}$   $\hat{\mathbf{n}} \cdot \mathrm{rot} \mathbf{V} = \lim_{a_i o 0} rac{\Gamma_i}{a_i}$   $\mathrm{rot} \mathbf{V} = \mathbf{F}(\mathbf{r})$ punto r

$$\Gamma_{i} = \oint_{C_{i}} \mathbf{V} \cdot d\mathbf{l} \qquad \hat{\mathbf{n}} \cdot \mathbf{l}$$

$$\hat{\mathbf{n}} \cdot \mathrm{rot} \mathbf{V} = \lim_{a_i o 0} rac{\Gamma_i}{a_i}$$



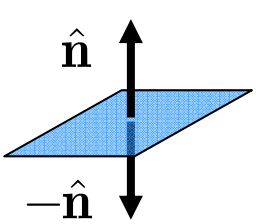
$$\mathrm{rot}\mathbf{V}=\mathbf{F}(\mathbf{r})$$

- Inoltre dobbiamo anche risolvere altre due ambiguità
  - Un cammino può essere percorso in due sensi

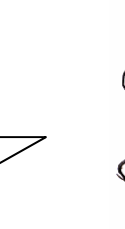




• La normale alla superficie può avere due versi



- Si usa la convenzione della mano destra
  - Lega il verso della normale al senso di percorrenza del cammino

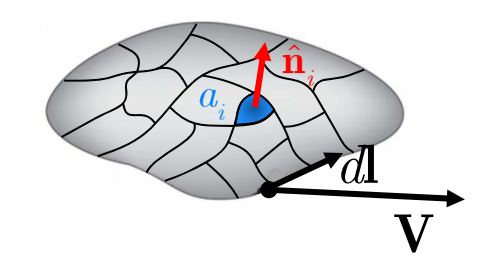




#### Teorema di Stokes

- ullet Il teorema di Stokes lega il flusso del rotore di un campo vettoriale V attraverso una superficie alla circuitazione del campo vettoriale V
  - $\bullet$  È analogo al teorema di Gauss che lega l'integrale di volume della divergenza di un campo vettoriale V al flusso del vettore V
- Consideriamo la circuitazione del campo V

$$\Gamma = \oint_C \mathbf{V} \cdot d\mathbf{l} = \sum_{i=1}^N \Gamma_i = \sum_{i=1}^N \frac{\Gamma_i}{a_i} a_i$$



ullet Per N sufficientemente grande

$$rac{\Gamma_i}{a_i} 
ightarrow \hat{\mathbf{n}}_i \cdot (\operatorname{rot} \mathbf{V})_{\mathbf{r}_i}$$

Sostituendo

$$\Gamma = \sum_{i=1}^{N} \hat{\mathbf{n}}_{i} \cdot \left( \operatorname{rot} \mathbf{V} \right)_{\mathbf{r}_{i}} a_{i} \xrightarrow{N \to \infty} \int_{S} \operatorname{rot} \mathbf{V} \cdot \hat{\mathbf{n}} da$$

• Otteniamo pertanto il teorema di Stokes

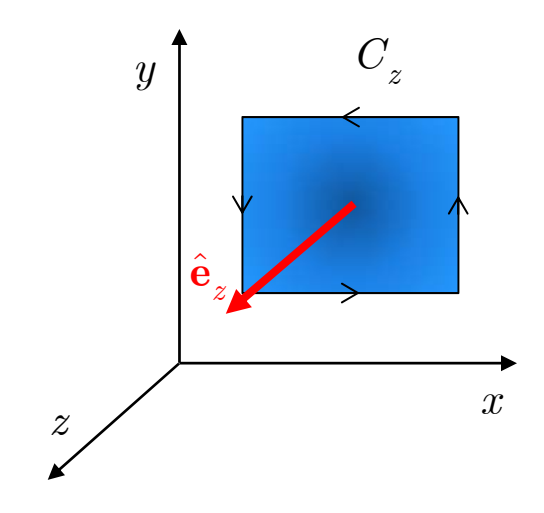
$$\left| \oint_C \mathbf{V} \cdot d\mathbf{l} = \int_S \operatorname{rot} \mathbf{V} \cdot \hat{\mathbf{n}} \, da \right|$$

La superficie S è arbitraria ma è delimitata da C

- La definizione di rotore che abbiamo dato, benché rigorosa, risulta poco conveniente per un utilizzo nei calcoli  $\hat{\mathbf{n}} \cdot \mathrm{rot} \mathbf{V} = \lim_{a_i \to 0} \frac{\Gamma}{a_i}$ 
  - $\bullet$  Ricaviamo un'espressione che consenta di scrivere per un campo vettoriale V le componenti di  ${\bf rot}\ V$ 
    - Esplicitamente e semplicemente
- Il calcolo dipende dal sistema di coordinate utilizzato
  - Utilizziamo le coordinate cartesiane
    - Nelle esercitazioni: espressione del rotore in altri sistemi di coordinate
- ullet La componente del rotore nella direzione  $\hat{f n}$  è  $\hat{f n} \cdot {
  m rot} {f V}$ 
  - ullet Per trovare le tre componenti di  ${f rot}\ {f V}$  utilizziamo i tre versori cartesiani
    - $\hat{f e}_x$   $\hat{f e}_y$   $\hat{f e}_z$
    - ullet Ad esempio calcoliamo la componente z

$$\hat{\mathbf{e}}_z \cdot \mathrm{rot} \mathbf{V} = \left( \mathrm{rot} \, \mathbf{V} \right)_z$$

- ullet Utilizziamo un cammino rettangolare  $C_z$ 
  - ullet Delimita una superficie parallela al piano  $x\!-y$
  - Il cammino è percorso in senso antiorario
  - La normale alla superficie punta nella direzione positiva dell'asse z (regola della mano destra)



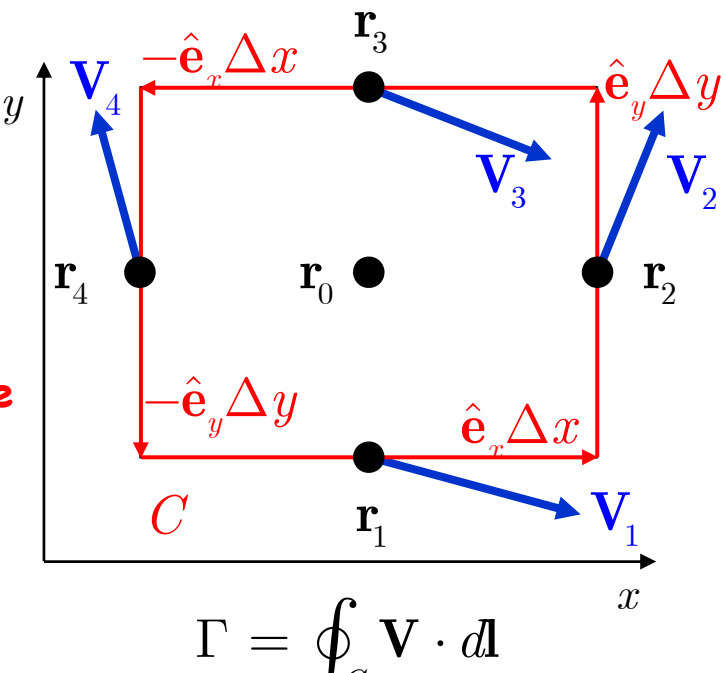
- ullet Calcoliamo la circuitazione del campo  $V({f r})$  lungo il cammino rettangolare della figura
  - I lati del rettangolo sono infinitesimi e hanno lunghezza  $\Delta x$  e  $\Delta y$
  - ullet Calcoliamo il campo V(r) nei punti  $r_1, r_2, r_3, r_4$ 
    - Definiamo per abbreviare  $V_i = V(r_i)$
  - Approssimando al primo ordine la circuitazione

$$\begin{split} & \Gamma = \mathbf{V}_{\!_{1}} \cdot \hat{\mathbf{e}}_{\!_{x}} \Delta x + \mathbf{V}_{\!_{2}} \cdot \hat{\mathbf{e}}_{\!_{y}} \Delta y - \mathbf{V}_{\!_{3}} \cdot \hat{\mathbf{e}}_{\!_{x}} \Delta x - \mathbf{V}_{\!_{4}} \cdot \hat{\mathbf{e}}_{\!_{y}} \Delta y \\ & \Gamma = V_{\!_{x1}} \Delta x + V_{\!_{y2}} \Delta y - V_{\!_{x3}} \Delta x - V_{\!_{y4}} \Delta y \end{split}$$

 $\bullet$  Le componenti del campo necessarie possono essere calcolate sviluppando al primo ordine intorno al punto  $\mathbf{r}_0$ 

$$V_{x1} = V_{x0} + rac{\partial V_x}{\partial y} \left( -rac{\Delta y}{2} 
ight)$$

$$V_{x3} = V_{x0} + \frac{\partial V_x}{\partial y} \frac{\Delta y}{2}$$



$$J_C$$

$$V_{y2} = V_{y0} + \frac{\partial V_y}{\partial x} \frac{\Delta x}{2}$$

$$V_{y4} = V_{y_0} + \frac{\partial V_y}{\partial x} \left( -\frac{\Delta x}{2} \right)$$

ullet Tutte le derivate sono calcolate nel punto  ${f r}_0$ 

$$V_{x1} = V_{x0} + \frac{\partial V_x}{\partial y} \left( -\frac{\Delta y}{2} \right) \quad V_{x3} = V_{x0} + \frac{\partial V_x}{\partial y} \frac{\Delta y}{2} \quad V_{y2} = V_{y0} + \frac{\partial V_y}{\partial x} \frac{\Delta x}{2} \quad V_{y4} = V_{y0} + \frac{\partial V_y}{\partial x} \left( -\frac{\Delta x}{2} \right)$$

• Introduciamo nell'espressione della circuitazione

$$\Gamma = \frac{V_{x1}\Delta x + V_{y2}\Delta y - V_{x3}\Delta x - V_{y4}\Delta y}{V_{x3}\Delta x - V_{y4}\Delta y}$$

- ullet Notiamo che il contributo  $V_{x0}$  nei termini  $V_{x1}$  e  $V_{x3}$  si cancella
- ullet Analogamente il contributo  $V_{y0}$  nei termini  $V_{y2}$  e  $V_{y4}$
- Otteniamo

$$\Gamma = -\frac{\partial V_x}{\partial y} \frac{\Delta y}{2} \Delta x + \frac{\partial V_y}{\partial x} \frac{\Delta x}{2} \Delta y - \frac{\partial V_x}{\partial y} \frac{\Delta y}{2} \Delta x + \frac{\partial V_y}{\partial x} \frac{\Delta x}{2} \Delta y$$

$$\Gamma = -\frac{\partial V_x}{\partial y} \Delta y \Delta x + \frac{\partial V_y}{\partial x} \Delta x \Delta y = \left(\frac{\partial V_y}{\partial x} - \frac{\partial V_x}{\partial y}\right) \Delta y \Delta x$$

- ullet L'area della superficie delimitata dal cammino è  $a=\Delta x \Delta y$
- Dalla definizione di rotore otteniamo infine

$$\left(\operatorname{rot}\mathbf{V}\right)_{z} = \lim_{a \to 0} \frac{\Gamma}{a} = \frac{\partial V_{y}}{\partial x} - \frac{\partial V_{x}}{\partial y}$$

• Esaminiamo il risultato ottenuto

$$(\operatorname{rot} \mathbf{V})_z = \frac{\partial V_y}{\partial x} - \frac{\partial V_x}{\partial y}$$

- In particulare l'ordine z x y
  - Sono ordinate ciclicamente
- Le componenti del vettore V da derivare sono "le altre" rispetto alla coordinata z del rotore che stiamo calcolando
  - Rispetto alla derivazione sono "scambiate"
- Avendo notato queste regolarità possiamo scrivere le altre due componenti

$$\left(\operatorname{rot}\mathbf{V}\right)_{x} = \frac{\partial V_{z}}{\partial y} - \frac{\partial V_{y}}{\partial z}$$

$$\left(\operatorname{rot}\mathbf{V}\right)_{y} = \frac{\partial V_{x}}{\partial z} - \frac{\partial V_{z}}{\partial x}$$

$$\left(\operatorname{rot}\mathbf{V}\right)_{y} = \frac{\partial V_{x}}{\partial z} - \frac{\partial V_{z}}{\partial x}$$

$$\operatorname{rot} \mathbf{V} = \begin{vmatrix} \hat{\mathbf{e}}_{x} & \hat{\mathbf{e}}_{y} & \hat{\mathbf{e}}_{z} \\ \frac{\partial}{\partial x} & \frac{\partial}{\partial y} & \frac{\partial}{\partial z} \\ V_{x} & V_{y} & V_{z} \end{vmatrix} = \hat{\mathbf{e}}_{x} \left( \frac{\partial V_{z}}{\partial y} - \frac{\partial V_{y}}{\partial z} \right) + \hat{\mathbf{e}}_{y} \left( \frac{\partial V_{x}}{\partial z} - \frac{\partial V_{z}}{\partial x} \right) + \hat{\mathbf{e}}_{z} \left( \frac{\partial V_{y}}{\partial x} - \frac{\partial V_{x}}{\partial y} \right)$$

$$\operatorname{rot} \mathbf{V} = \mathbf{\nabla} \times \mathbf{V}$$

#### Teoremi di Gauss e di Stokes

- Il teorema della divergenza è anche noto come teorema di Gauss
  - Da non confondere con la legge di Gauss
- Teorema di Gauss

$$\oint_{S} \mathbf{F} \cdot \hat{\mathbf{n}} da = \int_{V} \mathbf{\nabla} \cdot \mathbf{F} dV$$

- ullet L'uguaglianza fra un integrale di superficie (n=2) e un integrale di volume (n=3)
- ullet Per indicare "la superficie che delimita V" si utilizza anche la notazione  $\partial V$

$$\oint_{\partial V} \mathbf{F} \cdot \hat{\mathbf{n}} da = \int_{V} \mathbf{\nabla} \cdot \mathbf{F} dV$$

• Teorema di Stokes

$$\oint_{C} \mathbf{F} \cdot d\mathbf{l} = \int_{S} \mathbf{\nabla} \times \mathbf{F} \cdot \hat{\mathbf{n}} da$$

- ullet L'uguaglianza fra un integrale di linea (n=1) e un integrale di superficie (n=2)
- ullet Per indicare "la superficie che delimita S" si utilizza anche la notazione  $\partial S$

$$\oint_{\partial S} \mathbf{F} \cdot d\mathbf{l} = \int_{S} \mathbf{\nabla} \times \mathbf{F} \cdot \hat{\mathbf{n}} da$$

### Il rotore del campo elettrostatico

• Applichiamo il teorema di Stokes al campo elettrostatico E

$$\oint_C \mathbf{E} \cdot d\mathbf{l} = \int_S \mathbf{\nabla} \times \mathbf{E} \cdot \hat{\mathbf{n}} da$$

• Sappiamo inoltre che per un campo elettrostatico e per un cammino arbitrario C

 $\oint_C \mathbf{E} \cdot d\mathbf{l} = 0$ 

ullet L'arbitrarietà di C implica che per una superficie arbitraria S

$$\int_{S} \mathbf{\nabla} \times \mathbf{E} \cdot \hat{\mathbf{n}} da = 0$$

• Ovviamente ne consegue che

$$\nabla \times \mathbf{E} = 0$$

- Questa è la forma differenziale della legge sulla circuitazione del campo elettrostatico
- È condizione necessaria e sufficiente
- È una delle leggi di Maxwell in forma differenziale nel limite statico

### Campi conservativi

- Vale la pena notare che se un campo vettoriale è il gradiente di un campo scalare il suo rotore è identicamente nullo
  - Infatti sia  $\mathbf{V} = \mathbf{\nabla}\phi = \hat{\mathbf{e}}_x \frac{\partial \phi}{\partial x} + \hat{\mathbf{e}}_y \frac{\partial \phi}{\partial y} + \hat{\mathbf{e}}_z \frac{\partial \phi}{\partial z}$
  - Calcoliamo il rotore di V
    - ullet Ad esempio la componente x

ullet Sostituendo  $V_u$  e  $V_z$ 

$$\left(\mathbf{\nabla} \times \mathbf{V}\right)_{x} = \frac{\partial}{\partial y} \frac{\partial \phi}{\partial z} - \frac{\partial}{\partial z} \frac{\partial \phi}{\partial y} = \frac{\partial^{2} \phi}{\partial y \partial z} - \frac{\partial^{2} \phi}{\partial y \partial z} = 0$$

- Risultati analoghi per le altre due componenti
  - Anche in questo caso si tratta di condizione necessaria e sufficiente
- ullet Notiamo che imporre che il campo elettrico  ${f E}$  sia il gradiente di un campo scalare assicura il campo E soddisfi l'equazione di Maxwell

$$\nabla \times \mathbf{E} = 0$$

ullet Notiamo infine che nei libri inglesi e americani si usa anche la notazione  $\operatorname{curl} V$ 

$$\operatorname{rot} \mathbf{V} = \operatorname{curl} \mathbf{V} = \mathbf{\nabla} \times \mathbf{V}$$

### Significato fisico del rotore

• Per comprendere il significato fisico del rotore utilizziamo ancora una volta un

esempio preso dalla fluidodinamica

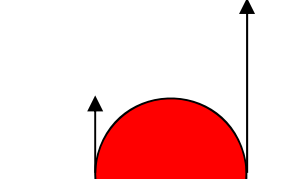
• Il flusso dell'acqua di un fiume

• La velocità non è uniforme

• É nulla sull'argine, massima al centro

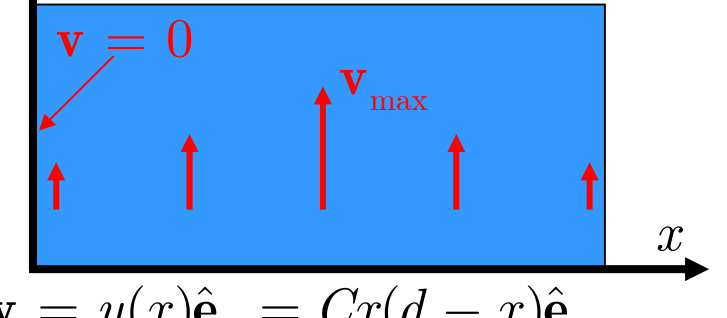
• Un oggetto galleggiante è sottoposto ad un momento delle forze di attrito

• Le forze sono differenti perché le velocità sono differenti

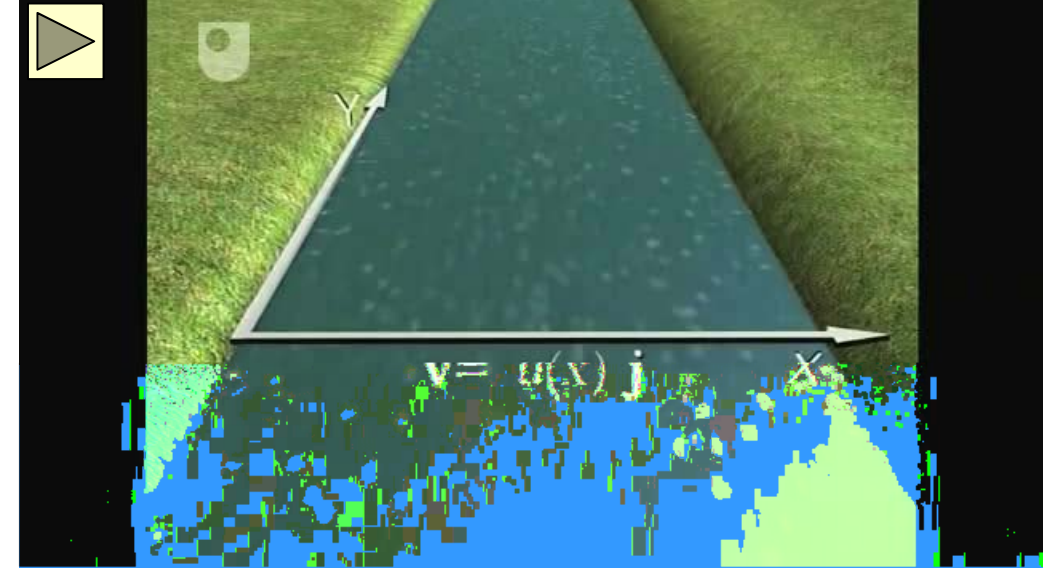


$$\nabla \times \mathbf{v} = C(d-2x)\hat{\mathbf{e}}_{z}$$

• Dimensionalmente  $\nabla \times \mathbf{v}$  è una velocità angolare



 $\mathbf{v} = u(x)\hat{\mathbf{e}}_{u} = Cx(d-x)\hat{\mathbf{e}}_{u}$ 



• https://www.youtube.com/watch?v=vvzTEbp9lrc

#### Teorema di Helmholtz

- A questo punto vale la pena sottolineare alcuni aspetti matematici
  - Abbiamo trovato delle equazioni differenziali per il campo E
    - Le equazioni definiscono il rotore e la divergenza del campo
  - È legittimo chiedersi se matematicamente il problema sia ben posto
    - Le due equazioni definiscono il campo E senza ambiguità?
- Il teorema di Helmholtz assicura che quanto asseriamo è matematicamente consistente

#### Teorema di Helmholtz

Sia dato un campo vettoriale F(r) di cui sono noti rotore e divergenza

- a)  $\nabla \cdot \mathbf{F} = \rho(\mathbf{r})$
- b)  $\nabla \times \mathbf{F} = \mathbf{J}(\mathbf{r})$
- c) Le funzioni  $\rho(\mathbf{r})$  e  $\mathbf{J}(\mathbf{r})$  si annullano all'infinito più velocemente di  $1/r^2$ Sotto queste condizioni il campo  $\mathbf{F}(\mathbf{r})$  è univocamente determinato e ha la forma

$$\mathbf{F} = -\mathbf{\nabla}\,V + \mathbf{\nabla} imes \mathbf{A} \equiv \mathbf{F}_{\mathrm{irr}} + \mathbf{F}_{\mathrm{sol}}$$
 Componente solenoidale  $\mathbf{\nabla}\cdot\mathbf{F}_{\mathrm{sol}} = 0$  dove

$$V(\mathbf{r}) = \frac{1}{4\pi} \int \frac{\mathbf{\nabla} \cdot \mathbf{F}}{|\mathbf{r} - \mathbf{r}'|} dV' \qquad \mathbf{A}(\mathbf{r}) = \frac{1}{4\pi} \int \frac{\mathbf{\nabla} \times \mathbf{F}}{|\mathbf{r} - \mathbf{r}'|} dV'$$

#### Elettrostatica e teorema di Helmholtz

$$V(\mathbf{r}) = \frac{1}{4\pi} \int \frac{\mathbf{\nabla} \cdot \mathbf{F}}{|\mathbf{r} - \mathbf{r}'|} dV'$$

 $\mathbf{A}(\mathbf{r}) = \frac{1}{4\pi} \int \frac{\mathbf{\nabla} \times \mathbf{F}}{|\mathbf{r} - \mathbf{r}'|} dV'$ 

ullet Nel caso dell'elettrostatica  ${f F}={f E}$ 

$$\mathbf{\nabla} \cdot \mathbf{E} = \frac{\rho(r)}{\mathbf{\nabla} \times \mathbf{E}} = 0$$

- ullet Il secondo integrale è nullo
- Il campo elettrico è pertanto

$$\mathbf{E} = -\frac{1}{\varepsilon_0} \nabla V + \nabla \mathbf{A} = -\nabla V$$

- ullet Naturalmente il campo scalare V  $\dot{f e}$  il potenziale elettrostatico
- Il campo elettrostatico ha solo la componente irrotazionale
- NB: l'espressione del campo è completamente determinata perché conosciamo anche il rotore di E
  - ullet Il fatto che abla imes E=0 non toglie che il valore del rotore sia fondamentale per determinare completamente il campo
- Studieremo presto un campo con divergenza nulla e rotore diverso da zero
  - Il campo di induzione magnetica B
  - Inoltre nel caso dinamico (dipendente da t) il campo elettrico acquisterà anche la componente solenoidale ( $\nabla \times \mathbf{E} \neq 0$ )

### Le forze magnetiche

- Come per le forze elettriche anche per i fenomeni magnetici le prime conoscenze sono molto antiche
  - Fin dall'antichità si conoscevano le proprietà di uno strano materiale, la magnetite

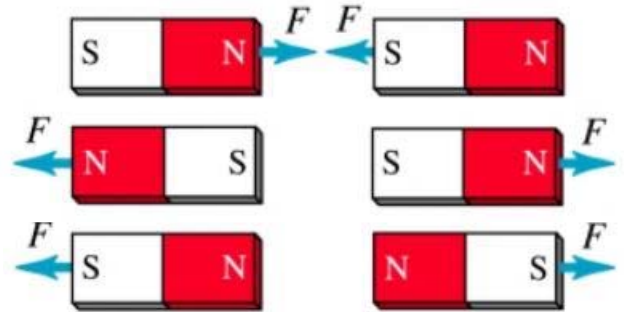
• Il nome ha un origine classica, dalla citta Magnesia (Asia Minore) presso

cui si trovava facilmente questo materiale

 Oggi sappiamo che si tratta di una combinazione di ossidi di ferro: FeO·Fe₂O₃

- È nota la capacita della magnetite di esercitare forze sulla limatura di ferro
- Oggetti costruiti utilizzando la magnetite prendono il nome di magneti (permanenti)
- Una delle proprietà caratteristiche dei magneti è la presenza di due poli (Nord, Sud)
  - Due poli magnetici si attraggono o si respingono
    - Poli di segno diverso si attraggono
      - Nord-Sud
    - Poli di segno uguale si respingono
      - Sud-Sud Nord-Nord





## Le forze magnetiche

• Un'altra caratteristica importante di un magnete permanente è l'impossibilità di isolare un polo magnetico

• Il tentativo di isolare un polo, ad esempio spezzando il magnete in due parti, porta comunque alla formazione di due o più magneti sempre con due poli S N(S N)S N

• È un fatto sperimentale di fondamentale importanza l'impossibilità di isolare un polo magnetico

• È una differenza fondamentale con le forze elettriche

• Una delle applicazioni più importanti delle forze magnetiche è stata senza dubbio la bussola per la navigazione

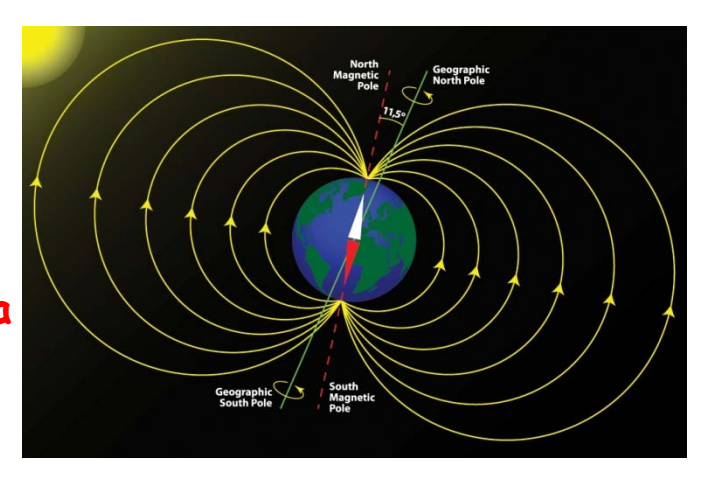
Se ne hanno notizie a partire dall'XI secolo

• Si tratta di un sottile magnete permanente (ago magnetico) libero di ruotare in un piano

- Il polo nord dell'ago indica la direzione del nord (magnetico)
- Oggi sappiamo che la terra possiede un campo magnetico analogo a quello di un magnete
  - L'asse del campo magnetico della terra forma circa 11.5 gradi con l'asse di rotazione
  - L'ago magnetico si allinea con il campo

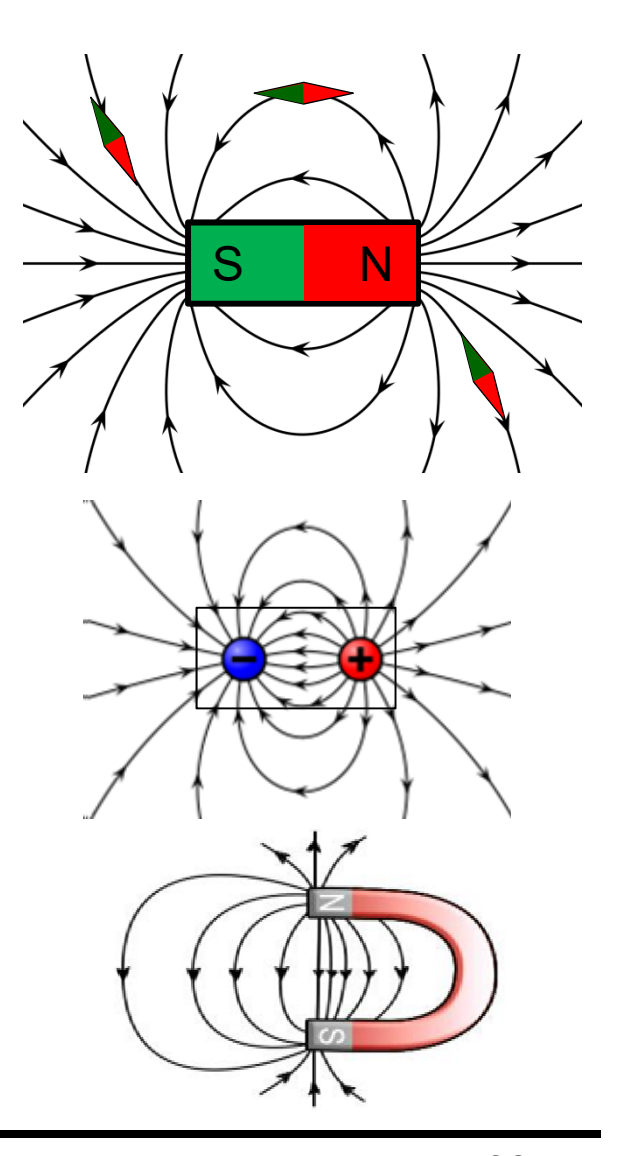






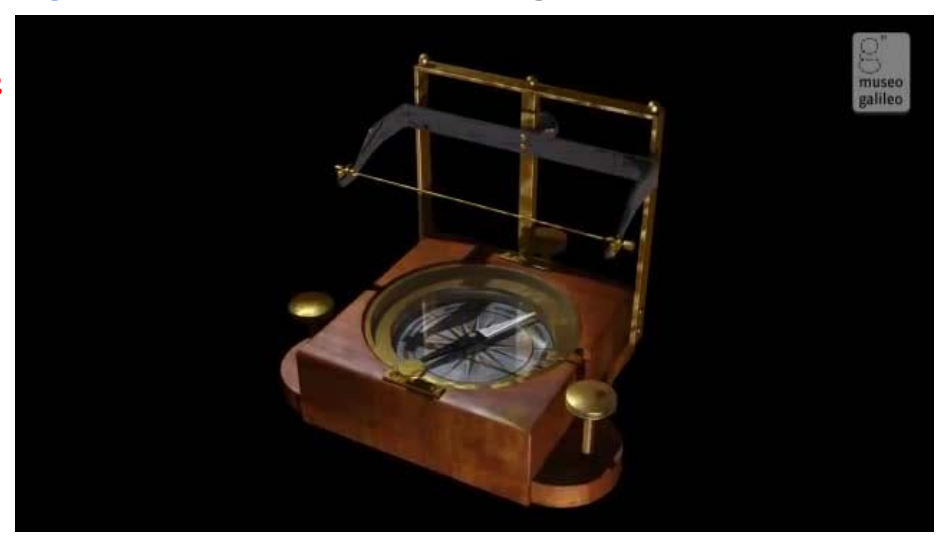
### Magneti permanenti

- I magneti permanenti applicano forze
  - Ad altri magneti permanenti
  - A oggetti metallici
  - Generano un campo che permette di calcolare le forze: il campo magnetico
    - Definiremo fra poco rigorosamente il campo magnetico
- Possiamo visualizzare il campo magnetico utilizzando un ago magnetizzato
  - Vale la pena notare le somiglianze con il campo di un dipolo elettrico
    - Vedremo che la somiglianza della "mappa" delle linee di forza non è casuale
    - Attenzione: gli effetti del campo magnetico sono molto diversi da quelli del campo elettrico
- Si possono realizzare magneti permanenti di forme differenti
  - Genera linee di campo parallele all'interno



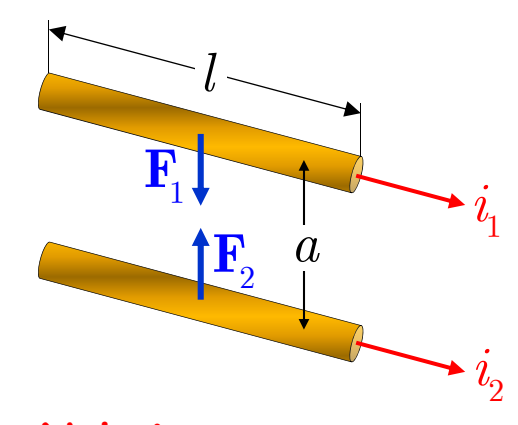
### L'esperimento di Oersted

- Per molti secoli la comprensione dei fenomeni magnetici non fece progressi di rilievo
  - Coulomb studiò le forze fra magneti giungendo ad una legge formalmente simile a quella delle forze elettrostatiche
  - Tuttavia non si trattò di una strada destinata a portare ulteriori progressi
    - I fenomeni magnetici rimanevano separati da quelli elettrici
- Nel 1820 Oersted studiava gli effetti delle correnti
  - Da poco le scoperte di Galvani e Volta avevano dotato gli scienziati di un nuovo strumento di ricerca per creare correnti elettriche: le batterie
- Oersted aveva intuito che le forze magnetiche avevano un'origine elettrica
  - Il famoso esperimento di Oersted dimostra l'effetto di una corrente elettrica su un ago magnetico
  - Una corrente elettrica genera un campo magnetico analogo a quello della terra
    - Perpendicolare al filo
- Le cariche in movimento generano un campo magnetico
  - È nato l'elettromagnetismo



#### Forze fra correnti

- Quasi in contemporanea agli studi di Oersted avanzavano anche gli studi di Ampère
  - Grazie alla possibilità di costruire batterie si potevano studiare gli effetti delle correnti elettriche
  - Ampère scoprì che due fili percorsi da corrente esercitano forze l'uno sull'altro
- Ampère scopre la legge con cui due fili percorsi da corrente si attraggono o si respingono



Correnti nello stesso senso Forza attrattiva

$$F = \mu_0 \frac{i_1 i_2}{2\pi a} l$$

• Nel sistema MKSA

$$\mu_{\rm o} = 4\pi 10^{-7} \, {\rm Kg \, mC^{-2}}$$

Correnti in senso opposto Forza repulsiva